

## ·垂体肿瘤专题·

# <sup>1</sup>H-MRS对卵泡刺激激素免疫阳性垂体腺瘤的诊断和预后评估的价值

闫进 李松 杨辉

**【摘要】**目的 探讨<sup>1</sup>H-磁共振波谱(<sup>1</sup>H-MRS)对卵泡刺激激素(FSH)免疫阳性垂体腺瘤的诊断和预后评估的价值。方法 收集自2007年1月至2015年1月经病理确诊的28例FSH免疫阳性垂体腺瘤患者的临床资料,术后6例复发;Knosp分级3~4级15例,1~2级13例;所有患者术前均行<sup>1</sup>H-MRS检查,分析胆碱(Ch)/肌酐(Cr)、Ch/N-乙酰天门冬氨酸(NAA)、NAA/Cr等比值。结果 28例病变区Ch/NAA比值增高比例(75.0%)较丘脑外侧皮质区明显增高(7.1%;P<0.05);受试者工作特征(ROC)曲线显示,Ch/NAA比值的阈值为1.2595,诊断腺瘤的敏感度为75.0%,特异度为92.9%。15例Knop分级3~4级患者Ch/NAA比值和Ch/Cr比值增高比例(80.0%)较13例Knop分级1~2级患者明显增高(15.4%;P<0.05);ROC曲线显示,Ch/Cr比值和Ch/NAA比值均有统计学差异(P<0.05),Ch/NAA比值曲线下面积为0.841,结果更为显著;Ch/NAA比值的阈值为2.235,区分腺瘤Knosp分级敏感度为80.0%,特异度为84.6%。6例复发患者Ch/Cr比值增高比例(83.3%)较22例未复发患者明显增高(27.3%;P<0.05);ROC曲线显示,Ch/Cr比值的阈值为2.2685,评估腺瘤复发敏感性为83.3%,特异性为72.7%。结论 <sup>1</sup>H-MRS对FSH免疫阳性垂体腺瘤的术前诊断、Knosp分级和预后评估具有参考价值。

**【关键词】**垂体腺瘤;卵泡刺激素;免疫阳性;<sup>1</sup>H-磁共振波谱;诊断;复发;预后评估

**【文章编号】**1009-153X(2015)10-0588-03   **【文献标志码】**A   **【中国图书资料分类号】**R 739.41

### Value of <sup>1</sup>H-MRS to diagnosis and assessment of prognoses in patients with non-functioning gonadotroph adenomas

YAN Jin, LI Song, YANG Hui. Department of Neurosurgery, Xinqiao Hospital, The Third Military Medical University, Chongqing 400037, China

**[Abstract]** Objective To investigate the value of <sup>1</sup>H-MRS to diagnosis and assessment of prognoses in patients with non-functioning gonadotroph adenomas (NFGA). Methods The clinical data of 28 patients with NFGA proved by pathological examination in whom FSH was positive, from January, 2007 to January, 2015 were collected. The <sup>1</sup>H-MRS imaging data of 28 patients, of whom, 6 had relapse and 22 not, were analyzed retrospectively. The relationship of ratios of Ch/Cr, Ch/NAA and NAA/Cr with diagnosis of NFGA, Knosp grade and prognosis was analyzed. Results The efficiency of <sup>1</sup>H-MRS to diagnosis of NFGA: the sensitivity, specificity, positive predictive value, negative predictive value and accuracy rate were 75.0%, 92.9%, 91.3%, 78.8% and 83.9% respectively. The ratio of Ch/NAA threshold was 1.2595. The efficiency of <sup>1</sup>H-MRS to predicting Knosp grade: the sensitivity, specificity, positive predictive value, negative predictive value and accuracy rate were 80.0%, 84.6%, 85.7%, 78.6% and 89.3% respectively. The ratio of Ch/NAA threshold was 2.235. The efficiency of <sup>1</sup>H-MRS to predicting NFGA recurrence: the sensitivity, specificity, positive predictive value, negative predictive value and accuracy rate were 83.3%, 72.7%, 45.5%, 94.1% and 75.0% respectively. The ratio of Ch/Cr threshold was 2.2685.

**Conclusion** <sup>1</sup>H-MRS may provide valid reference index for the diagnosis, Knosp grade and prognoses in the patients with NFGA.

**【Key words】** <sup>1</sup>H-MRS; Non-functioning gonadotroph adenomas; Diagnosis; Recurrence

临幊上,垂体功能型促性腺激素腺瘤较少见,但是促性腺激素免疫阳性腺瘤较常见<sup>[1,2]</sup>。<sup>1</sup>H-磁共振波谱(<sup>1</sup>H-magnetic resonance spectrum,<sup>1</sup>H-MRS)在脑肿瘤、癫痫、多发性硬化等疾病中广泛应用<sup>[3,4]</sup>,而在垂体腺瘤中的报道较少。本文回顾性分析自2007年1月至2015年1月28例病理检查证实为卵泡刺激

素(follicle-stimulating hormone,FSH)阳性垂体腺瘤患者的临幊资料,探讨<sup>1</sup>H-MRS对垂体FSH免疫阳性腺瘤的诊断和预后评估的价值,现报道如下。

### 1 临幊资料

1.1 一般资料 本组男21例,女7例;年龄29~72岁,平均49.8岁。随访期间6例复发,其中男5例,女1例;年龄29~72岁,平均50.3岁。

1.2 临幊表现 头昏、头痛11例,视觉障碍16例,性功能障碍2例。6例复发患者中,头昏、头痛3例,视觉障碍4例,性功能障碍1例。

1.3 <sup>1</sup>H-MRS检查 采用GE Signa 3.0 T磁共振成像系统,扫描感兴趣区(region of interest, ROI)为病变区和丘脑外侧皮质区(不分左右);扫描参数:TR 9002 ms, TE 152.4 ms, FOV 24 cm, Vol 1 cm<sup>3</sup>;充分抑制水信号,取仪器自带软件分析胆碱(choline, Ch)/肌酐(creatine, Cr)、Ch/N-乙酰天门冬氨酸(N-acetyl-aspartate, NAA)、NAA/Cr等比值。

1.4 垂体激素检查 28例患者术前和术后次日晨起6:30~7:30检验静脉血FSH、黄体生成素(luteinizing hormone, LH)。

1.5 Knosp分级 术前Knosp分级1级3例,2级10例,3级11例,4级4例。6例复发患者中,Knosp分级2级1例,3级2例,4级3例。

1.6 肿瘤大小 28例患者中,巨大腺瘤14例(直径≥3 cm或体积≥10 cm<sup>3</sup>);复发患者中,巨大腺瘤5例。

1.7 诊断标准 免疫病理结果表现为FSH阳性,无促性腺激素的活动性分泌,无卵巢过度刺激综合征、睾丸增大、性早熟等临床症状<sup>[5]</sup>。

1.8 随访和复发 术后1、3、6个月及术后1年随访1次,以后每年随访1次。复发标准:症状好转后再出现或加重,伴或不伴激素水平升高,影像学见肿瘤增大。28例患者术后随访4~53月,平均(14.5±9.4)月。

1.9 统计学分析 采用SPSS 19.0软件进行分析,计数资料采用 $\chi^2$ 检验,绘制受试者工作特征(receiver operator characteristic, ROC)曲线分析<sup>1</sup>H-MRS各指标的敏感性和特异性; $P<0.05$ 为差异有统计学意义。

## 2 结果

2.1 <sup>1</sup>H-MRS中Ch/NAA比值诊断FSH免疫阳性垂体腺瘤的效果 病变区Ch/NAA比值增高21例(75.0%),丘脑外侧皮质区Ch/NAA比值增高2例(7.1%),两者差异显著( $P<0.05$ )。ROC曲线结果显示,Ch/NAA比值的阈值为1.2595,敏感度为75.0%,特异度为92.9%,准确度为83.9%,阳性预测值为91.3%,假阳性率为8.7%,阴性预测值为78.8%(图1A)。

2.2 <sup>1</sup>H-MRS中Ch/NAA、Ch/Cr比值与Knosp分级关系 15例Knop分级3~4级患者中,Ch/NAA和Ch/Cr比值增高12例(80.0%);13例Knop分级1~2级患者中,Ch/NAA和Ch/Cr比值均增高2例(15.4%);两者差异显著( $P<0.05$ )。ROC曲线结果显示,Ch/Cr和Ch/NAA比值均有统计学差异( $P<0.05$ ),Ch/NAA比值曲线下面积为0.841,结果更为显著;Ch/NAA比值的阈值为2.235,敏感度80.0%,特异度84.6%,准确度为89.3%。这提示Ch/NAA比值≥2.235可作为判断FSH免疫阳性腺瘤Knosp级别的参考指标。本组6例患者Ch/Cr比值增高比例较未复发患者明显增高( $P<0.05$ ),Ch/Cr比值阈值为2.2685,判定预后复发的敏感度83.3%,特异度72.7%,准确度75.0%。这提示Ch/Cr比值≥2.2685可作为判断FSH免疫阳性腺瘤复发的参考指标。

度为89.3%,阳性预测值85.7%,阴性预测值78.6%(图1B)。

2.3 <sup>1</sup>H-MRS中Ch/Cr比值判断FSH免疫阳性腺瘤复发的效果 6例复发患者中(图2),Ch/Cr比值增高5例(83.3%);22例未复发患者中,Ch/Cr比值增高6例(27.3%);两者差异显著( $P<0.05$ )。ROC曲线结果显示,Ch/Cr比值的阈值为2.2685,敏感性83.3%,特异度72.7%,准确度为75.0%,阳性预测值45.5%,阴性预测值94.1%(图1C)。

2.4 术后血清FSH、LH水平及FSH/LH比值变化 28例患者术后第1天晨起空腹血清FSH、LH水平及FSH/LH比值与术前无明显变化( $P>0.05$ )。

## 3 讨论

Saeger等<sup>[4]</sup>曾报道1996~2005年在德国登记的病理确认的3 489例垂体腺瘤中,FSH/LH免疫阳性腺瘤占24.8%,男性多见,多无内分泌功能的改变,多因视觉功能障碍、头痛等症状就诊,或检查其他疾病时被偶然发现,就诊时往往已出现视觉障碍、头痛等症状,多数已经侵袭到视交叉、鞍上、斜坡、海绵窦、蝶窦等周围组织,全切难度大,复发率极高<sup>[2]</sup>。

Mayson和Snyder<sup>[6]</sup>认为FSH免疫阳性腺瘤患者血清FSH水平升高或者正常,常伴或不伴LH水平降低,激素作为其诊断的敏感性及特异性都很低。本研究分析,无论复发与否,手术前后患者血清FSH/LH比值及血清FSH、LH水平无明显变化( $P>0.05$ )。

<sup>1</sup>H-MRS在诊断肿瘤组织和级别上,除了胶质瘤和转移瘤准确度是78%以外,黑色素瘤、胶质瘤、多形细胞瘤等成对比较的准确度接近90%<sup>[3]</sup>。本研究28例患者垂体腺瘤组织Ch/NAA比值较丘脑外侧皮质明显增高( $P<0.05$ ),根据ROC曲线结果,Ch/NAA比值阈值为1.2595,敏感度75.0%,特异度92.9%,准确度为83.9%。这提示Ch/NAA比值≥1.2595可作为诊断FSH免疫阳性腺瘤的参考指标。本组Knosp分级3~4级患者Ch/NAA和Ch/Cr比值均增高的比例较Knosp分级1~2级患者明显增高( $P<0.05$ ),Ch/NAA比值阈值为2.235,敏感度80.0%,特异度84.6%,准确度为89.3%。这提示Ch/NAA比值≥2.235可作为判断FSH免疫阳性腺瘤Knosp级别的参考指标。本组6例患者Ch/Cr比值增高比例较未复发患者明显增高( $P<0.05$ ),Ch/Cr比值阈值为2.2685,判定预后复发的敏感度83.3%,特异度72.7%,准确度75.0%。这提示Ch/Cr比值≥2.2685可作为判断FSH免疫阳性腺瘤复发的参考指标。

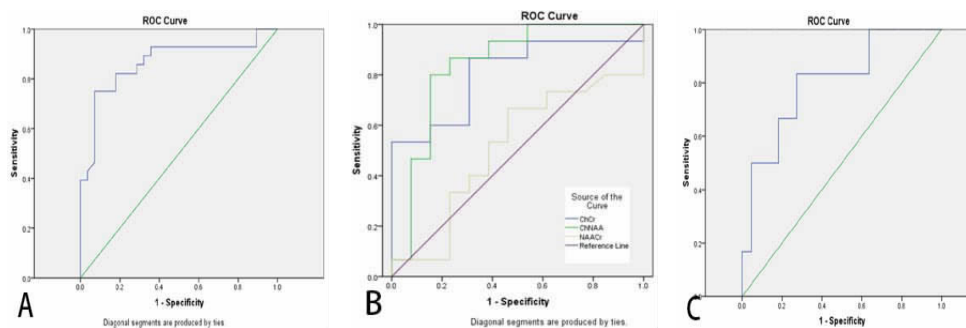


图1 磁共振波谱各指标的受试者工作特征曲线  
A. Ch/NAA比值诊断FSH免疫阳性垂体腺瘤；B. Ch/NAA、Ch/Cr比值判断FSH免疫阳性垂体腺瘤Knosp分级；C. Ch/Cr比值评估FSH免疫阳性垂体腺瘤复发；  
FSH:卵泡刺激素

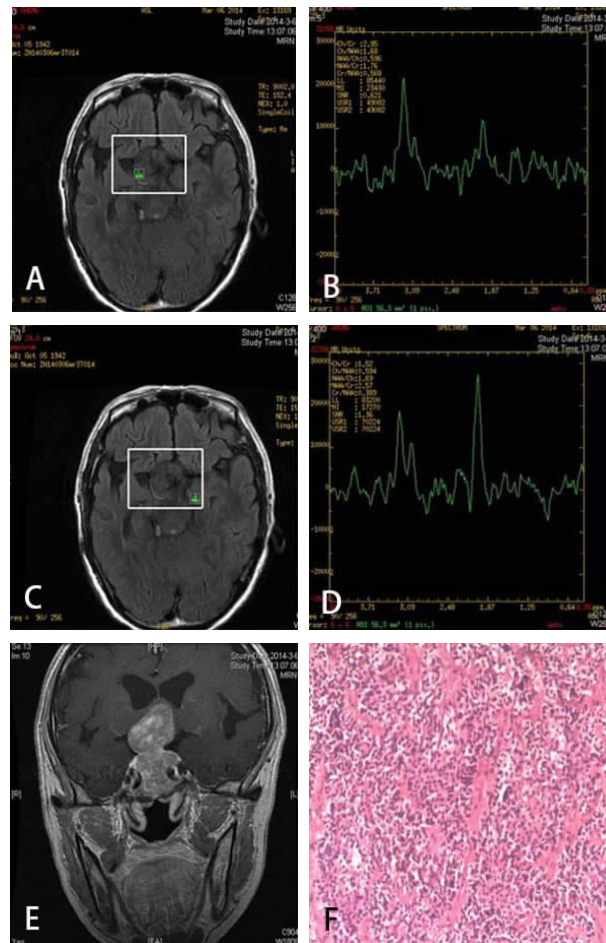


图2 1例复发FSH免疫阳性垂体腺瘤患者<sup>1</sup>H-MRS影像及术后病理图

A、B. 垂体腺瘤部位及<sup>1</sup>H-MRS曲线图；C、D. 丘脑外侧皮质部位及<sup>1</sup>H-MRS曲线；E. 头颅MRI冠状位平扫；F. 术后FSH免疫组化染色( $\times 100$ )；FSH. 卵泡刺激素；MRS. 磁共振波谱

既往报道,无功能型垂体腺瘤复发率为6.4%~34%,手术全切率为43%~96%。Roelfsema等<sup>[7]</sup>进行Meta分析认为,没有任何因素与无功能型垂体腺瘤的复发相关。而另一项长期随访研究中称Knosp分级和侵袭性可以预测无功能型垂体腺瘤的复发<sup>[2]</sup>,手术未全切除是肿瘤复发的危险因素。因此,<sup>1</sup>H-MRS在FSH免疫阳性垂体腺瘤患者Knosp分级中的预测

作用对制定患者的诊疗方案非常关键,Knosp分级3~4级的患者,术中轻柔操作,尽量全切,术后易复发,对残余肿瘤行放射治疗,加强随访。

总之,<sup>1</sup>H-MRS为FSH免疫阳性垂体腺瘤的诊断、Knosp分级的判断和预后的评估提供了一个有效的无创的检查手段,<sup>1</sup>H-MRS在FSH免疫阳性垂体腺瘤中的广泛应用仍需大样本病例的证实。

### 【参考文献】

- Saeger W, Ludecke DK, Buchfelder M, et al. Pathohistological classification of pituitary tumors: 10 years of experience with the German Pituitary Tumor Registry [J]. Eur J Endocrinol, 2007, 156(2): 203–216.
- Dallapiazza RF, Grober Y, Starke RM, et al. Long-term results of endonasal endoscopic transsphenoidal resection of nonfunctioning pituitary macroadenomas [J]. Neurosurgery, 2015, 76(1): 42–53.
- Oz G, Alger JR, Barker PB, et al. Clinical proton MR spectroscopy in central nervous system disorders [J]. Radiology, 2014, 270(3): 658–679.
- Bulik M, Jancalek R, Vanicek J, et al. Potential of MR spectroscopy for assessment of glioma grading [J]. Clin Neurol Neurosurg, 2013, 115(2): 146–153.
- Ntali G, Capatina C, Grossman A, et al. Clinical review: functioning gonadotroph adenomas [J]. J Clin Endocrinol Metab, 2014, 99(12): 4423–4433.
- Mayson SE, Snyder PJ. Silent (clinically nonfunctioning) pituitary adenomas [J]. J Neurooncol, 2014, 117(3): 429–436.
- Roelfsema F, Biermasz NR, Pereira AM. Clinical factors involved in the recurrence of pituitary adenomas after surgical remission: a structured review and meta-analysis [J]. Pituitary, 2012, 15(1): 71–83.